

**ИССЛЕДОВАНИЕ СТАТИЧЕСКИХ  
ВОЛЬТ-АМПЕРНЫХ ХАРАКТЕРИСТИК  
РЕЗОНАНСНО-ТУННЕЛЬНЫХ ДИОДОВ  
НА ОСНОВЕ ГЕТЕРОСТРУКТУР GaAs/AlAs**

А. С. Игнатьев, А. В. Каменев, В. Б. Копылов,  
Г. З. Немцов, Д. В. Посвяинский

Институт радиотехники и электроники Российской академии наук,  
103907, Москва, Россия

(Получена 26 октября 1992 г. Принята к печати 13 ноября 1992 г.)

Методом молекулярно-лучевой эпитаксии на основе гетероструктур GaAs/AlAs изготовлены резонансно-тунNELьные диоды (РТД), исследованы их статические ВАХ. Обнаружены различия в характере ВАХ РТД, изготовленных на идентичных гетероэпитаксиальных структурах. Предложена эквивалентная схема РТД. В рамках этой модели рассчитаны ВАХ РТД в различных условиях.

В последние годы возрос интерес к структурам с резонансным туннелированием электронов. Приборы на основе этих структур могут быть использованы в качестве умножителей частоты, многоуровневой памяти, аналого-цифровых преобразователей, генераторов, оптоэлектронных приборов [<sup>1</sup>]. В настоящей работе изучаются статические ВАХ двухбарьерных резонансных туннельных диодов (РТД) в зависимости от параметров структуры.

Одной из важнейших характеристик РТД является  $\gamma$  — отношение максимального резонансного тока к нерезонансной составляющей. Вследствие снижения нерезонансного тока участок ВАХ с отрицательным дифференциальным сопротивлением (ОДС) становится более выраженным. Поэтому при создании РТД использовались гетеропереходы на основе GaAs/AlAs, в которых достигаются большие по сравнению с GaAs/AlGaAs высоты потенциальных барьеров. Максимальные значения  $\gamma$ , достигнутые на таких структурах, составляли  $\gamma = 3$  при  $T = 300$  К [<sup>2</sup>].

РТД изготавливались методом молекулярно-лучевой эпитаксии на установке MBE-1000 фирмы «Riber» на подложках монокристаллического полупроводника GaAs (100) с разориентацией  $2^\circ$  к плоскости (110) (рис. 1). На слое  $n^+$ -GaAs (легированном Si) толщиной 1.5 мкм с концентрацией примеси  $3 \cdot 10^{18}$  см<sup>-3</sup>, выполняющем роль нижнего контактного слоя и барьера для диффузии примеси из подложки, выращивалась двухбарьерная структура (ДБС) со спейсером — слоем нелегированного GaAs толщиной 14 нм. В качестве барьеров ДБС изготавливались слои AlAs толщиной 2.5 нм. Для формирования потенциальной ямы ДБС использовался слой GaAs толщиной 4.5 нм. Верхний спейсер-слой *i*-GaAs имел толщину 7 нм.

Особенностью выращивания данной структуры является различие оптимальных температур роста GaAs и AlAs, которое вызвано отличием энергии связи соединений GaAs и AlAs. В связи с этим температуру подложки изменяли в процессе выращивания. ДБС выращивалась при температуре подложки 690 °C, а слой GaAs — при температуре 620 °C.

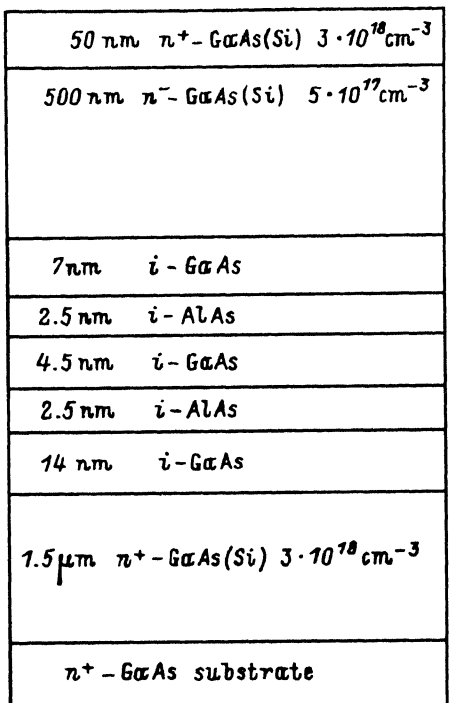


Рис. 1. Схематическое изображение вертикального разреза РТД.

Электрические свойства гетероструктур в значительной степени зависят от качества границ раздела AlAs/GaAs. Прерывание роста на поверхности GaAs при As-стабилизированных условиях приводит к повышению качества границы раздела за счет формирования более совершенной структуры, которое контролировали по увеличению интенсивности фотoluminesценции от квантовой ямы. Но при повышении длительности «прерывания» наблюдается уменьшение интенсивности фотoluminesценции, что, по-видимому, связано с повышением концентрации глубоких безызлучательных центров. С другой стороны, прерывание роста на поверхности AlAs только на 10 с приводит к резкому уменьшению интенсивности люминесценции, т. е. к быстрому увеличению концентрации ловушек на поверхности. В соответствии с этим для изготовления эпитаксиальных структур в данной работе прерывание процесса роста слоя производилось на 20 с только перед ростом барьерных слоев.

Контактный слой к ДБС состоял из двух последовательных слоев GaAs толщиной 500 и 50 нм, легированных кремнием до уровня  $5 \cdot 10^{17}$  и  $3 \cdot 10^{18} \text{ см}^{-3}$  соответственно, с плавным изменением концентрации Si между ними. Для формирования омических контактов использовалась система Au—Ni—(Au + 12% Ge) толщиной 0.28 мкм с последующим вжиганием при температуре подложки 475 °C в течение 30 с. РТД формировался в виде мезаструктур с радиусом эмиттерного контакта 7 мкм. Коллекторный контакт формировался сбоку от мезаструктуры на нижнем  $n^+$ -слое (рис. 1). В связи с неоднородностью травления возможно увеличение сопротивления омического контакта из-за неполного удаления спайсерного слоя на отдельных приборах.

На полученных РТД проводились измерения статических ВАХ при температурах 77 и 300 К на приборе фирмы «Tektronix» (модель 370A). На рис. 2, 3 (кривые 1) представлены типичные ВАХ РТД. На рис. 2 ВАХ носит bistabilnyy character (участок с отрицательным дифференциальным сопротивлением (ОДС) отсутствует на ВАХ), а на рис. 3 на ВАХ наблюдается область с ОДС и на этом участке имеется особенность. Природа этой особенности изучалась в работах [³, ⁴]. В работе [³] она объяснялась генерацией РТД незатухающих нелинейных колебаний. Эквивалентная схема РТД представлялась в виде, изображенном на рис. 4, a. Такая схема описывается дифференциальным уравнением второго порядка

$$LC \frac{d^2v}{dt^2} + [RC + LG(v)] \frac{dv}{dt} + RI(v) + v = V, \quad (1)$$

где  $L$ ,  $R$  — соответственно индуктивность и сопротивление контактов,  $C$  — емкость РТД,  $G = dI/dV$  — нелинейная проводимость,  $v$  — напряжение на нелинейной

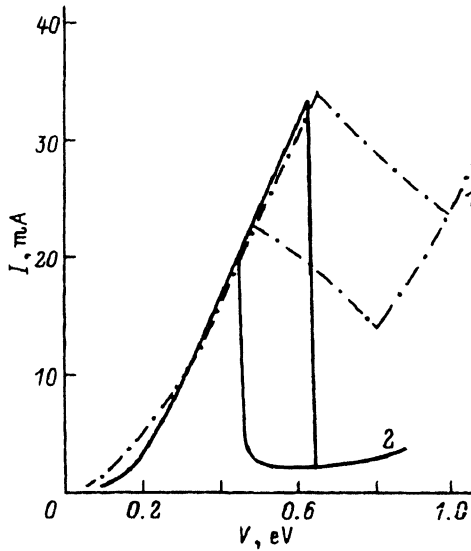


Рис. 2. ВАХ РТД при контактном сопротивлении  $R = 15 \text{ Ом}$ : 1 — экспериментальная ВАХ, 2 — расчетная.

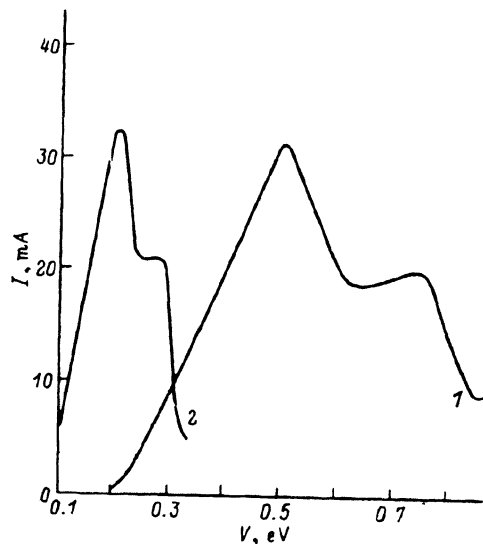


Рис. 3. ВАХ РТД при контактном сопротивлении  $R = 1.5 \text{ Ом}$ : 1 — экспериментальная ВАХ, 2 — расчетная.

проводимости,  $V$  — напряжение, приложенное к РТД,  $I(v)$  — ВАХ резонансной структуры.

В случае малых нагрузочных сопротивлений

$$R > R_c = (V_v - V_p)/(I_p - I_v), \quad (2)$$

где индексы  $p$  и  $v$  относятся соответственно к максимальному и минимальному значениям тока, уравнение (1) теряет устойчивость (имеет положительные показатели Ляпунова) при

$$G(v) < -\frac{RC}{L}. \quad (3)$$

В диапазоне напряжений, определяемом соотношением (3), в схеме самоизвестно возникают незатухающие нелинейные колебания. Усреднение этих колебаний по времени приводит к возникновению особенности на падающем участке ВАХ. Индуктивность, необходимую для существования незатухающих колебаний, можно оценить из условия

$$L > \frac{RC}{G_{\max}}, \quad (4)$$

$$G_{\max} = (e^2 m^*/4\pi^2 \hbar^3) \Gamma,$$

где  $\Gamma$  — ширина первого резонансного уровня,  $m^*$  — эффективная масса электронов в квантовой яме.

Недостатком предложенного объяснения является то, что в ряде случаев для возникновения осцилляций необходимы индуктивности порядка нескольких десятков мкГн [3]. Причина появления столь большой индуктивности не вполне ясна.

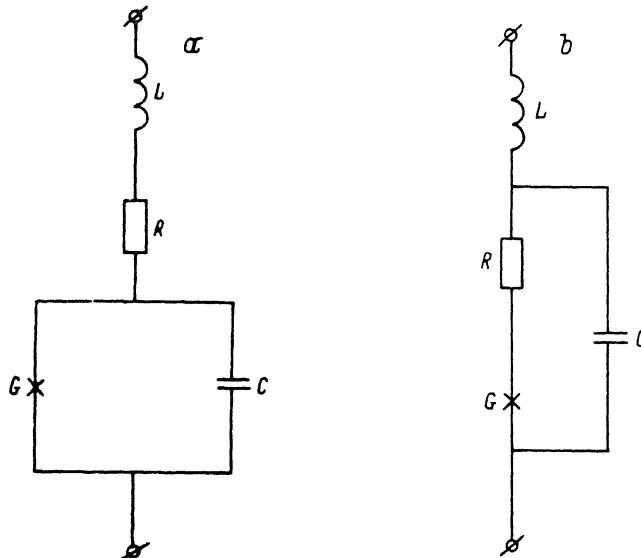


Рис. 4. Эквивалентные схемы РТД.

Эта трудность не возникает в измененной эквивалентной схеме РТД, рис. 4, b. В этой схеме емкость перехода шунтирует не только двухбарьерную структуру, но и нагрузочное сопротивление. Это можно обосновать тем, что основной вклад в сопротивление  $R$  для проводящих подложек вносят обедненные слои, непосредственно примыкающие к двухбарьерной структуре, так как концентрация примеси в нелегированном GaAs не превышает в полученных образцах  $2 \cdot 10^{15} \text{ см}^{-3}$ . Поэтому концентрация носителей в примыкающей ДБС области примерно на 3 порядка меньше, чем в соседнем контактном слое. В этой схеме описанная выше неустойчивость имеет место во всей области ОДС уже при малой индуктивности  $L$ .

Эквивалентная схема на рис. 4, b описывается уравнением

$$[1 - RG(v)]LC \frac{d^2v}{dt^2} + LG(v) \frac{dv}{dt} + RI(v) + v = V. \quad (5)$$

Мы не учитываем наличие «квантовой индуктивности» [5]

$$L_Q = \tau/G(v),$$

где  $\tau = \hbar/\Gamma$ , так как она намного меньше, нежели индуктивность подводящих проводов.

$$I = (em^*kT/2\pi^2\hbar^3) \int_0^\infty D(E) \ln F(E_f, E, v) dE, \quad (6)$$

$$F = (1 + \exp [(E_f - E)/kT])/(1 + \exp [(E_f - E - v)/kT]),$$

где  $D$  — прозрачность структуры,  $E_f$  — уровень Ферми в контактах.

Прозрачность структуры рассчитывалась из решения одномерного уравнения Шредингера (так как прозрачность структуры зависит только от перпендикулярной барьера составляющей импульса), при этом предполагалось, что все электрическое поле сосредоточено в структуре и напряженность поля не зависит

от координаты, а эффективная масса электрона в слоях AlAs отличается от массы в слоях GaAs. Волновая функция электронов  $\psi$  представлялась в виде

$$\psi(x) = \begin{cases} e^{ikx} + R(k) e^{-ikx}, & x \rightarrow -\infty, \\ C_j(k) A_i(x) + D_j(k) B_i(x), & 0 < x < d, \\ T(k) e^{ikx}, & x \rightarrow \infty, \end{cases} \quad (7)$$

где индекс  $j$  относится к квантовой яме или туннельным барьерам, а константы  $R, T$  — соответственно коэффициенты отражения и прохождения через структуру,  $d$  — толщина РТД. Прозрачность структуры находится из формулы  $D = T(k)T^*(k)$ . При расчетах ВАХ учитывалось изменение химического потенциала в контактах при изменении температуры. Химический потенциал  $\mu$  как функция температуры находился из уравнения

$$N = \int_0^\infty f(E, T, \mu) G(E) dE,$$

где  $G(E)$  — плотность электронных состояний в контактах,

$$G(E) = (2m^*)^{3/2} \sqrt{E} (2\pi^2 \hbar^3),$$

$f(E, T, \mu)$  — функция распределения Ферми—Дирака,  $N$  — концентрация носителей.

Емкость РТД может быть оценена по простой формуле  $C = \epsilon \epsilon_0 S / d$ , где  $S$  — площадь РТД,  $\epsilon = 12$  (значение берется для GaAs). Мы не учитывали влияния накапливаемого в квантовой яме заряда  $Q_w$  на полную емкость РТД, так как он оказывается меньше, чем заряд  $Q_k$ , создаваемый в контактной области диода

$$Q_k = 1/6 \epsilon \pi^2 k_f^3 L_s,$$

где  $L_s$  — ширина слоя спейсера,  $k_f = (2m^* E_f)^{1/2} / \hbar$ .

$$Q_w = L_w (em^* kT / \pi^2 \hbar^2) \int_0^\infty F(k_x) \ln [1 + \exp(E_f - E_x) / kT] dk_x,$$

$$F = (1 + R_2) / T_2 D(k_x),$$

$$E_x = (\hbar k_x) / 2m^*,$$

где  $R_2, T_2$  — соответственно коэффициенты отражения и прохождения от второго барьера,  $L_w$  — ширина квантовой ямы. Значения емкости РТД составляли примерно  $(1 + 3)$  пФ. Влияние заряда квантовой ямы на статическую ВАХ РТД изучалось в работе [6].

На рис. 2, 3 (кривые 2) изображена ВАХ РТД (с параметрами, указанными выше), рассчитанная по формуле (2) при различных температурах. При расчетах предполагалось, что эффективная масса электронов в слоях из GaAs  $m^* = 0.067 m$ , а в слоях AlAs  $m^* = 0.1 m$ , где  $m$  — масса свободного электрона. Следует отметить, что при температуре 77 К максимальный ток через РТД ( $I_p$ ) совпадает с экспериментальным значением, а при 300 К эти значения начинают сильно различаться (для расчетных ВАХ значение  $I_p$  увеличивается, а для экспериментальных ВАХ оно немного понижается). На наш взгляд, это вызвано тем, что при высоких температурах необходимо учитывать процессы рассеяния электронов на фононах, что может снизить значение  $I_p$ . В случае, когда

$$R > R_c \cong 3 \text{ Ом},$$

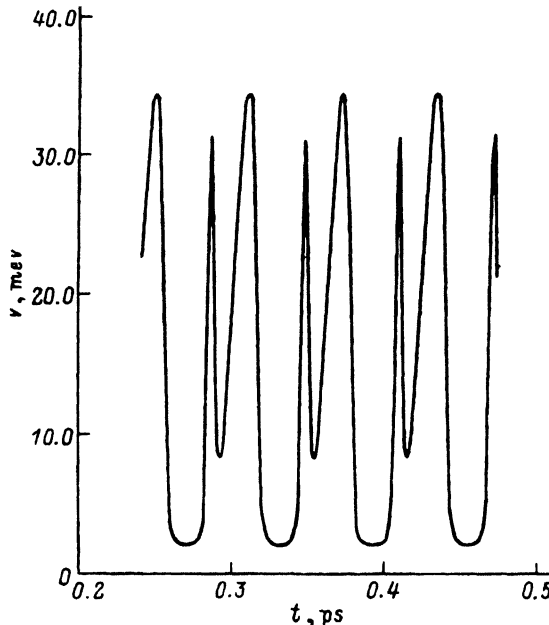


Рис. 5. Генерация нелинейных колебаний РТД на участке с ОДС.

положение равновесия, отвечающее пересечению нагрузочной прямой с падающей ВАХ, оказывается неустойчивым. Это приводит к тому, что участок с ОДС не может быть зарегистрирован — ВАХ носит бистабильный характер (рис. 2). При малых нагрузочных сопротивлениях, как уже отмечалось ранее, в схеме возникают нелинейные незатухающие колебания (рис. 4), усреднение которых ведет к образованию особенности на участке с ОДС (рис. 5). В связи с тем что все РТД создавались по идентичной технологии, а самой невоспроизводимой операцией при создании РТД является формирование контактов, то наличие гистерезиса на одних ВАХ и его отсутствие на других позволяет сделать предположение, что природа бистабильности носит чисто электротехнический характер (внешняя бистабильность [<sup>6</sup>] и не связана с накоплением заряда в квантовой яме (внутренняя бистабильность [<sup>7</sup>]).

Таким образом, изменения контактное сопротивление РТД, сформированных на одинаковых эпитаксиальных структурах, можно получать приборы как с бистабильной ВАХ, так и с участком ОДС. Особенность на падающем участке ВАХ, по-видимому, связана с генерацией высокочастотных колебаний, наличие которых может являться показателем хорошего качества самой ДБС.

#### СПИСОК ЛИТЕРАТУРЫ

- [1] A. C. Tager. Электрон. техн., Сер. Электроника СВЧ, вып. 9, 21 (1987).
- [2] H. G. Maro, U. K. Chen, U. K. Redby. Appl. Phys. Lett., **49**, 70 (1986).
- [3] C. Y. Belhadj. Appl. Phys. Lett., **57**, 54 (1990).
- [4] M. G. Boudreau, H. C. Liu. Superlatt. a. Microstruct., **8**, 429 (1990).
- [5] H. C. Liu. Phys. Rev. B, **43**, 12538 (1991).
- [6] J. O. Sofo, C. A. Balserio. Phys. Rev. B, **42**, 7292 (1990).
- [7] B. Joagi, E. T. Koenig. Appl. Phys., **69**, 3381 (1991).